

การจำลองการถ่ายโอนความร้อนภายในแพงท่อให้ความร้อน โดยระบบวิธีไฟนิตี้เอลิเม้นต์

Simulation of Heat Transfer in Heating Tube Bundle With Finite Element Method

สมจินต์ พ่วงเจริญชัย¹

บทคัดย่อ

การวิจัยนี้เสนอการคำนวณเชิงตัวเลขโดยระบบวิธีไฟนิตี้เอลิเม้นต์ เพื่อหาการกระจายอุณหภูมิที่คำແเน่งต่างๆ ภายในแบบจำลองของแพงท่อให้ความร้อน โดยแบบจำลองสำหรับการวิจัยได้จำลองแบบมากจากชุดทดสอบแพงท่อให้ความร้อนขนาด $80 \times 282.5 \times 350$ มิลลิเมตร ที่มีลักษณะของกลุ่มท่อภายในจัดวางเรียงแบบแนวเหลี่ยมกันขนาดเส้นผ่าศูนย์กลาง 10 มิลลิเมตร จากนั้นทำการเขียนโปรแกรมไฟนิตี้เอลิเม้นต์ เพื่อหาค่าอุณหภูมิตามคำແเน่งที่ต้องการ สำหรับการกำหนดเงื่อนไขข้อมูลเดียวกับแบบจำลองนั้น กำหนดให้อุณหภูมิที่ทางเข้ามีค่าเท่ากับ 20°C , 25°C 30°C และ 35°C ตามลำดับ ส่วนภายในแบบจำลองกำหนดอุณหภูมิที่ผิวนอกของแพงท่อให้ความร้อนคงที่ไว้ที่ 50°C , 60°C , 70°C และ 80°C ตามลำดับ ส่วนผนังหุ้มล้วนโดยรอบ (ไม่มีการสูญเสียความร้อน) จากผลการวิจัยจะพบว่าอุณหภูมิที่แตกต่างกันมากมีผลทำให้เกิดเดียนท์ของอุณหภูมิค่าสูงขึ้นและลักษณะการเปลี่ยนแปลงของอุณหภูมิภายในแบบจำลองนั้นมีลักษณะเพิ่มขึ้นสู่ภาวะสมดุล นั่นคือค่าของอุณหภูมิที่บริเวณทางออกของแพงท่อให้ความร้อนจะมีค่าเพิ่มตามลำดับและมีอัตราการเพิ่มขึ้นอย่างสม่ำเสมอ และเมื่อเวลาผ่านไปค่าของอุณหภูมิภายในของแบบจำลองจะมีค่าคงที่

คำสำคัญ : แพงท่อให้ความร้อน

Abstract

This research presented the simulation of heat transfer in heating tube bundle with finite element method for finding the temperature distribution inside heating tube bundle. This research was modeled from heating tube bundle set with the dimension of $80 \times 282.5 \times 350$ mm. The inside tubes group was in stagger arrangement with 10 mm. diameter. After that the finite element program was used to investigate temperature profile in the tube group. The inlet temperature was set at 20 , 25 , 30 and 35°C while the surface temperature of the tube bundle was 50 , 60 , 70 and 80°C . In this model, the heat loss at side wall was neglected. From this research, it was found that the more temperature difference lead to an increase in temperature gradient and the change was continuous increased until it reached the equilibrium temperature. After that the temperature at each position in the heating tube bundle was constant.

Keywords : Heating tube bundle

¹ อาจารย์ประจำสาขาวิชาวิศวกรรมเครื่องกล คณะวิศวกรรมศาสตร์ มหาวิทยาลัยเทคโนโลยีราชมงคลพระนคร

1. บทนำ

กระบวนการปรับอากาศเป็นการควบคุมสภาวะของอากาศให้เหมาะสมกับสภาพต่างๆ ในส่วนของการนวนการให้ความร้อนเพื่อให้ได้อุณหภูมิตามที่กำหนดนั้น ส่วนใหญ่นักใช้แพงท่อให้ความร้อน (Heating Tube Bundle) เป็นอุปกรณ์ในการเพิ่มอุณหภูมิ ดังนั้นในการออกแบบแพงท่อให้ความร้อนควรศึกษาการถ่ายโอนความร้อนภายในแพงท่อให้ความร้อนก่อน เพื่อใช้เป็นข้อมูลพื้นฐานในการออกแบบที่เหมาะสม โดยการถ่ายโอนความร้อนภายในแพงท่อให้ความร้อนสามารถถือวิธีได้ในทางกายภาพ (Physical) แล้วหาอุณหภูมิในรูปของสมการเชิงอนุพันธ์ (Differential Equation) และจากสมการเชิงอนุพันธ์สามารถนำไปหาค่าผลเฉลย (Solution) ตามที่ต้องการได้ โดยวิธีในการหาค่าผลเฉลยนี้สามารถกระทำได้หลายวิธี เช่น หาค่าผลเฉลยโดยวิธีการวิเคราะห์ (Analytical Method) หาค่าผลเฉลยโดยประมาณโดยวิธีผลต่าง สืบเนื่อง (Finite Difference Method) หรือหาค่าผลเฉลยโดยประมาณโดยวิธีการไฟฟ้าในตัวเรือน (Finite Element Method) โดยการหาค่าผลเฉลยโดยวิธีการวิเคราะห์นั้นจะกระทำได้ยุ่งยากกว่าอีก 2 วิธี ส่วนการหาค่าผลเฉลยโดยประมาณโดยวิธีผลต่างสืบเนื่องนั้นมีข้อดีตรงที่ง่ายต่อการศึกษา และทำความเข้าใจและรวมไปถึงความสะดวกในการเขียนโปรแกรม แต่จะไม่สะดวกในการกำหนดเงื่อนไขขอบเขตและมีปัญหามากในกรณีที่มีรูปร่างซับซ้อน และจากปัญหาดังกล่าวนี้เองวิธีการไฟฟ้าในตัวเรือน (Finite Element Method) จึงเป็นวิธีการหาค่าผลเฉลยโดยประมาณที่เหมาะสมกับปัญหาประเภทดังกล่าว ดังนั้นงานวิจัยนี้ จึงมุ่งศึกษาการถ่ายโอนความร้อนภายในแพงท่อให้ความร้อนโดยใช้วิธีไฟฟ้าในตัวเรือนทำการเขียนโปรแกรมหาค่าผลเฉลยโดยประมาณของอุณหภูมิภายในแพงท่อให้ความร้อนแบบเชิงเส้นในสถานะชั่วครู่ (Linear Transient Heat transfer) เพื่อใช้เป็นข้อมูลพื้นฐานในการออกแบบแพงท่อให้ความร้อนให้มีคุณภาพดีขึ้น นอกจากนั้นสามารถนำไปโปรแกรมนำไปใช้กับการออกแบบงานที่มีลักษณะเช่นเดียวกันได้

2. วิธีการและขั้นตอนการวิจัย

ในการวิจัยได้ใช้วิธีทางไฟฟ้าในตัวเรือน (Finite Element Method) ทำการถ่ายโอนความร้อนภายในแพงท่อให้ความร้อน โดยทำการเขียนโปรแกรมไฟฟ้าในตัวเรือน (Finite Element Method) เพื่อให้คอมพิวเตอร์คำนวณหาค่าของอุณหภูมิที่ต่ำแห่งต่างๆ ตามที่ต้องการ โดยทำการแบ่งส่วนของแบบจำลองออกเป็นชิ้นส่วนย่อย ที่มีขนาดต่างกัน แล้วทำการป้อนข้อมูลต่างๆ ประกอบด้วยจำนวนของชิ้นส่วนย่อย จำนวนของจุดต่อ ข้อมูลจำเพาะสำหรับแต่ละชิ้นส่วน พิกัดของตำแหน่งของจุดต่อต่างๆ จำนวนของชิ้นส่วนย่อยที่มีอนุพันธ์ของเงื่อนไขขอนเขต และจำนวนเวลาที่ใช้ในการพิจารณา หลังจากนั้นคอมพิวเตอร์จะคำนวณผลลัพธ์ที่ได้แล้วจึงทำการตรวจสอบและวิเคราะห์ผลข้อมูลที่ได้

3. แบบจำลองทางคณิตศาสตร์

สำหรับแบบจำลองทางคณิตศาสตร์ของแพงท่อให้ความร้อนได้จากสมการการอนุรักษ์พลังงานในระบบแกนพิกัดฉาก (Rectangular Coordinate System) [1] ได้แก่

$$\rho c \frac{\partial T}{\partial t} = k \left(\frac{\partial^2 T}{\partial x^2} + \frac{\partial^2 T}{\partial y^2} \right) - \rho c \left(u \frac{\partial T}{\partial x} + v \frac{\partial T}{\partial y} \right) + q \quad (1)$$

โดยที่

ρ คือความหนาแน่น (kg/m^3)

c คือความจุความร้อน (kJ/kg.K)

k คือสภาพการนำความร้อน (W/m.K)

T คืออุณหภูมิ (K)

q คือปริมาณความร้อนที่ผลิตขึ้นเอง (W/m^3)

3.1 การสร้างสมการไฟฟ้าในตัวเรือนกับปัญหาด้านความร้อน

สำหรับสมการไฟฟ้าในตัวเรือนสำหรับปัญหาด้านความร้อนสามารถแสดงได้ดังนี้ [4]

$$[C]\{\dot{T}\} + ([K_c] + [K_h] + [K_v])\{T\} = \{Q_e\} + \{Q_h\} \quad (2)$$

โดย เมตริกซ์และ荷ดเดอร์ต่างๆ สามารถแสดงได้ดังนี้

$$[A] = \sum_{m=0}^{\infty} \sum_{n=0}^{\infty} a_m a_n \{a(\xi_m \eta_n)\} [a(\xi_m \eta_n)] [a(\xi_m \eta_n)] \quad (3)$$

$$[B] = \sum_{m=0}^{\infty} \sum_{n=0}^{\infty} b_m b_n \{a(\xi_m \eta_n)\} [a(\xi_m \eta_n)] [a(\xi_m \eta_n)] \quad (4)$$

$$[C] = \sum_{m=0}^{\infty} c_m c_n \{a(\xi_m \eta_n)\} [a(\xi_m \eta_n)] [a(\xi_m \eta_n)] \quad (5)$$

$$[D] = \sum_{m=0}^{\infty} \sum_{n=0}^{\infty} d_m d_n \{a(\xi_m \eta_n)\} [a(\xi_m \eta_n)] [a(\xi_m \eta_n)] \quad (6)$$

$$[E] = \sum_{m=0}^{\infty} \sum_{n=0}^{\infty} e_m e_n \{a(\xi_m \eta_n)\} [a(\xi_m \eta_n)] [a(\xi_m \eta_n)] \quad (7)$$

$$[F] = \sum_{m=0}^{\infty} f_m f_n \{a(\xi_m \eta_n)\} [a(\xi_m \eta_n)] \quad (8)$$

โดยที่

- คือสัมประสิทธิ์การพาความร้อน ($\text{W}/\text{m}^2 \cdot \text{K}$)
- คืออุณหภูมิของไอลโดยรอบ (K)

3.2 สมมุติฐานที่ใช้ในการจำลองมีดังนี้

(1) ไม่มีการสูญเสียความร้อนระหว่างแผงท่อให้ความร้อนกับสิ่งแวดล้อม ผนังหุ้นหนาโดยรอบ (Adiabatic Wall)

(2) พิจารณาผลของการเปลี่ยนแปลงอุณหภูมิตามเวลา

(3) สมการในการวิเคราะห์หาค่าอุณหภูมิเป็นสมการ การอนุรักษ์พลังงาน

(4) พิจารณาคุณสมบัติของอากาศมีค่าคงที่ในช่วงเวลาที่กำลังพิจารณา

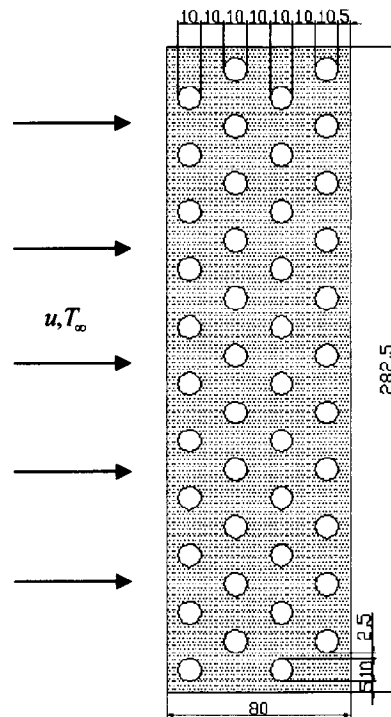
(5) ไม่พิจารณาการพาความร้อนโดยอิสระ ซึ่งเกิดจากการเคลื่อนที่ของของไอลภายในได้แรงดึงด้วยตัวที่เพิ่มขึ้น อันเนื่องมาจากการเปลี่ยนแปลงความหนาแน่น

(6) ไม่พิจารณาผลของการเปลี่ยนแปลงมวลความชื้นของอากาศ ขณะที่มีการเปลี่ยนแปลงอุณหภูมิ

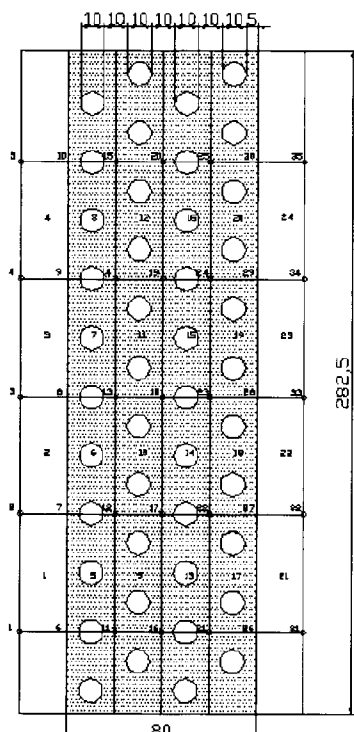
(7) ไม่พิจารณาผลของการพาความร้อนของของไอลภายในท่อ

3.3 การสร้างแบบจำลอง

ในการสร้างแบบจำลองของแผงท่อให้ความร้อนสำหรับการวิจัยนี้ ได้ทำการจำลองแบบจากชุดทดลอง แผงท่อให้ความร้อนขนาด $80 \times 282.5 \times 350 \text{ mm}$. โดยลักษณะการจัดวางของกลุ่มห่อภายในเรียงแบบแนวเหลี่ยม กันเส้นผ่านศูนย์กลาง 10 มิลลิเมตร จำนวน 44 ห่อ ดังแสดงในรูปที่ 1 ดังนั้นจากแบบจำลองของแผงท่อให้ความร้อน สามารถแบ่งเป็นชั้นส่วนย่อยจำนวน 24 ชั้น ส่วนที่ประกอบด้วยห่อต่อทั้งหมด 35 หุดต่อ ตามตำแหน่งต่างๆ ของเทอร์โน่ปีปีลเด้งแสดงในรูปที่ 2



รูปที่ 1 แสดงลักษณะแบบจำลองแผงท่อให้ความร้อน



รูปที่ 2 แสดงลักษณะของอเลิมเนต์ของแบบจำลองแพงท่อให้ความร้อน

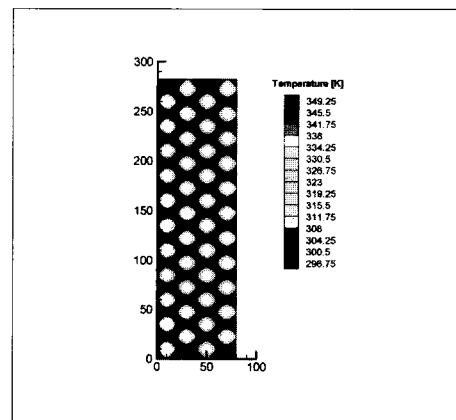
3.4 การกำหนดเงื่อนไขขอนเขตแบบจำลอง

หากลักษณะของแบบจำลองดังกล่าว จะเห็นได้ว่าเงื่อนไขขอนเขตของอุณหภูมิที่ทางเข้า (■) ของแบบจำลองแพงท่อเป็นแบบอุณหภูมิคงที่ ส่วนบริเวณโดยรอบของแบบจำลอง (ด้านบนและด้านล่าง) หุ้มด้วยผนังadiabatic (Adiabatic Wall) และกรณีปัจจุบันที่ขึ้นกับเวลาจะเป็นต้องทราบค่าเงื่อนไขเบื้องต้นก่อน (Initial Condition) โดยกำหนดอุณหภูมิเริ่มต้น (Initial Temperature) ภายในแบบจำลอง เมื่อเวลาผ่านไปการกำหนดเงื่อนไขภายในแบบจำลองจะกำหนดอุณหภูมิที่ผิวนอกของท่อให้ความร้อนมีค่าคงที่

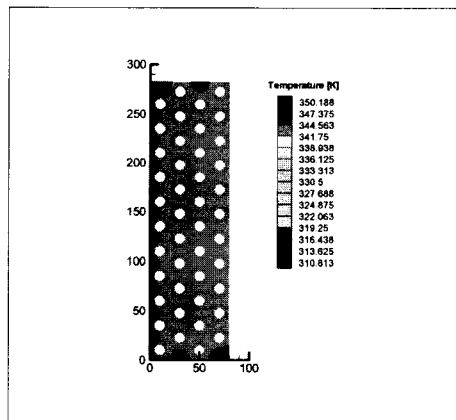
4. ผลและวิเคราะห์ผลของการจำลอง

จากลักษณะของแบบจำลองที่แบ่งจำนวนເອລີມເນຕໍ เป็นจำนวน 24 ເອລີມເນຕໍ ປະກອບດ້ວຍຈຸດຕ່ອທັນໜົມ 35 ຈຸດຕ່ອ ແຕ່ເນື່ອງຈາກເອລີມເນຕໍດັກລ່າມືນິຂາດກ່ອນຫັງໄຫຍ່ ທຳໄຫ້ມີສາມາດກຳທັນໄດ້ເນື່ອນໄພໃຫ້ມີຄວາມຮັບກາຍໃນແບນຈຳລອງໄດ້ດັກນັ້ນຈຶ່ງກຳກັນແປ່ງຈຳນວນ ເອລີມເນຕໍເພີ່ມເປັນ 1630 ເອລີມເນຕໍ ທີ່ປະກອບດ້ວຍຈຸດຕ່ອ 1975 ຈຸດຕ່ອ ຈັກນັ້ນກຳທັນໄດ້ເນື່ອນໄພຂອນເບົດແບນຈຳລອງໂດຍຮອບ ໂດຍກຳທັນດອຸພະກຸນີທີ່ທາງເຂົ້າໄວ້ທີ່ 20°C , 25°C , 30°C ແລະ 35°C ຕາມລຳດັບສ່ວນກາຍໃນແບນຈຳລອງກຳທັນດອຸພະກຸນີທີ່ຜົວອກຂອງແພງທ່ອໃຫ້ຄວາມຮັບກາຍທີ່ໄວ້ທີ່ 50°C , 60°C , 70°C ແລະ 80°C ຕາມລຳດັບ ແລະ ອຸພະກຸນີເຮັ້ນດັນກາຍໃນແບນຈຳລອງໄວ້ທີ່ 20°C , 25°C , 30°C ແລະ 35°C ຕາມອຸພະກຸນີທີ່ທາງເຂົ້າຈັກນັ້ນກຳທັນຈຳນວນເວລາທັງໝາດທີ່ກຳທັນພິຈາລະນາ ພາກາຈຳລອງກຣັບຕ່າງໆ ຈະພວ່າກຣັບທີ່ຜົວອກຂອງແພງທ່ອໃຫ້ຄວາມຮັບກາຍມີອຸພະກຸນີ 50°C ແລະ ອຸພະກຸນີຕໍ່ແໜ່ງທາງເຂົ້າ 20°C ເກຣເດີຢັນທີ່ຂອງອຸພະກຸນີໃນທີ່ການທັງອງກາໄລມີຄ່າເທິກັນ 82.9 K/m ກຣັບທີ່ຜົວອກຂອງແພງທ່ອໃຫ້ຄວາມຮັບມີອຸພະກຸນີ 50°C ແລະ ອຸພະກຸນີຕໍ່ແໜ່ງທາງເຂົ້າ 25°C ເກຣເດີຢັນທີ່ຂອງອຸພະກຸນີໃນທີ່ການທັງອງກາໄລມີຄ່າເທິກັນ 69.1 K/m ກຣັບທີ່ຜົວອກຂອງແພງທ່ອໃຫ້ຄວາມຮັບມີອຸພະກຸນີ 50°C ແລະ ອຸພະກຸນີຕໍ່ແໜ່ງທາງເຂົ້າ 30°C ເກຣເດີຢັນທີ່ຂອງອຸພະກຸນີໃນທີ່ການທັງອງກາໄລມີຄ່າເທິກັນ 55.3 K/m ກຣັບທີ່ຜົວອກຂອງແພງທ່ອໃຫ້ຄວາມຮັບມີອຸພະກຸນີ 50°C ແລະ ອຸພະກຸນີຕໍ່ແໜ່ງທາງເຂົ້າ 35°C ເກຣເດີຢັນທີ່ຂອງອຸພະກຸນີເລີ່ມຕົ້ນໃນທີ່ການທັງອງກາໄລມີຄ່າເທິກັນ 41.5 K/m ກຣັບທີ່ຜົວອກຂອງແພງທ່ອໃຫ້ຄວາມຮັບມີອຸພະກຸນີ 60°C ແລະ ອຸພະກຸນີຕໍ່ແໜ່ງທາງເຂົ້າ 20°C ເກຣເດີຢັນທີ່ຂອງອຸພະກຸນີໃນທີ່ການທັງອງກາໄລມີຄ່າເທິກັນ 110.6 K/m ກຣັບທີ່ຜົວອກຂອງແພງທ່ອໃຫ້ຄວາມຮັບມີອຸພະກຸນີ 60°C ແລະ ອຸພະກຸນີຕໍ່ແໜ່ງທາງເຂົ້າ 25°C ເກຣເດີຢັນທີ່ຂອງອຸພະກຸນີໃນທີ່ການທັງອງກາໄລມີຄ່າເທິກັນ 96.8 K/m ກຣັບທີ່ຜົວອກຂອງແພງທ່ອໃຫ້ຄວາມຮັບມີອຸພະກຸນີ

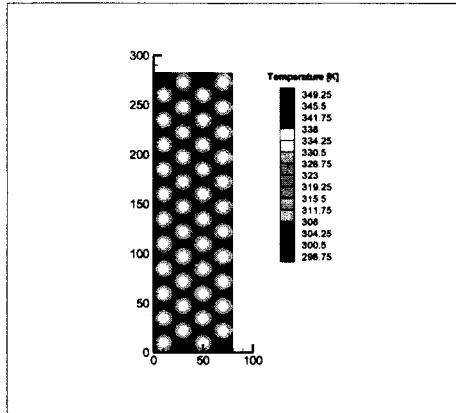
มีอุณหภูมิ 60°C และอุณหภูมิตำแหน่งทางเข้า 30°C เกรเดียนท์ ของอุณหภูมิในทิศทางของการไหลมีค่าเท่ากับ 82.9 K/m กรณีที่ผิวนอกของแผงท่อให้ความร้อน มีอุณหภูมิ 60°C และอุณหภูมิตำแหน่งทางเข้า 35°C เกรเดียนท์ของอุณหภูมิเฉลี่ยในทิศทางของการไหลมีค่าเท่ากับ 69.1 K/m กรณีที่ผิวนอกของแผงท่อให้ความร้อน มีอุณหภูมิ 70°C และอุณหภูมิตำแหน่งทางเข้า 20°C เกรเดียนท์ของอุณหภูมิในทิศทางของการไหลมีค่าเท่ากับ 138.2 K/m กรณีที่ผิวนอกของแผงท่อให้ความร้อน มีอุณหภูมิ 70°C และอุณหภูมิตำแหน่งทางเข้า 25°C เกรเดียนท์ของอุณหภูมิเฉลี่ยในทิศทางของการไหลมีค่าเท่ากับ 124.4 K/m กรณีที่ผิวนอกของแผงท่อให้ความร้อนมีอุณหภูมิ 70°C และอุณหภูมิตำแหน่งทางเข้า 30°C เกรเดียนท์ของอุณหภูมิในทิศทางของการไหลมีค่าเท่ากับ 110.6 K/m กรณีที่ผิวนอกของแผงท่อให้ความร้อน มีอุณหภูมิ 70°C และอุณหภูมิตำแหน่งทางเข้า 35°C เกรเดียนท์ของอุณหภูมิเฉลี่ยในทิศทางของการไหลมีค่าเท่ากับ 96.7 K/m กรณีที่ผิวนอกของแผงท่อให้ความร้อน มีอุณหภูมิ 80°C และอุณหภูมิตำแหน่งทางเข้า 20°C เกรเดียนท์ของอุณหภูมิในทิศทางของการไหลมีค่าเท่ากับ 165.9 K/m กรณีที่ผิวนอกของแผงท่อให้ความร้อน มีอุณหภูมิ 80°C และอุณหภูมิตำแหน่งทางเข้า 25°C เกรเดียนท์ของอุณหภูมิในทิศทางของการไหลมีค่าเท่ากับ 152.1 K/m กรณีที่ผิวนอกของแผงท่อให้ความร้อน มีอุณหภูมิ 80°C และอุณหภูมิตำแหน่งทางเข้า 30°C เกรเดียนท์ของอุณหภูมิในทิศทางของการไหล มีค่าเท่ากับ 138.2 K/m กรณีที่ผิวนอกของแผงท่อให้ความร้อน มีอุณหภูมิ 80°C และอุณหภูมิตำแหน่งทางเข้า 35°C เกรเดียนท์ของอุณหภูมิในทิศทางของการไหลมีค่าเท่ากับ 124.4 K ดังนั้นจากผลของการจำลองจะเห็นได้ว่าอุณหภูมิที่แตกต่างกันมากมีผลทำให้เกรเดียนท์ของอุณหภูมิมีค่าสูงขึ้นและลักษณะการเปลี่ยนแปลงของอุณหภูมิกายในแบบจำลองนั้นมีลักษณะเพิ่มขึ้นสู่ภาวะสมดุล



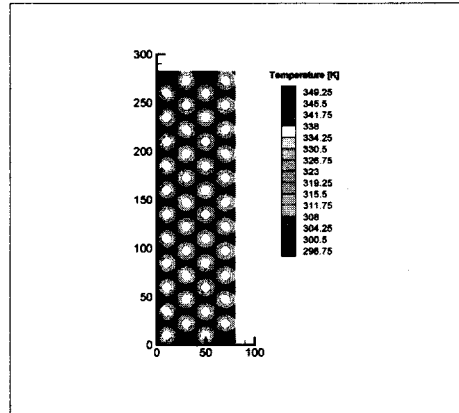
รูปที่ 3 แสดงลักษณะการถ่ายโอนความร้อนภายในแบบจำลอง แผงท่อให้ความร้อนเมื่อผิวนอกของแผงท่อให้ความร้อนมี อุณหภูมิ 50°C และอุณหภูมิอิเล็กทรอนิกส์ 20°C เมื่อเวลาผ่านไป 1 วินาที



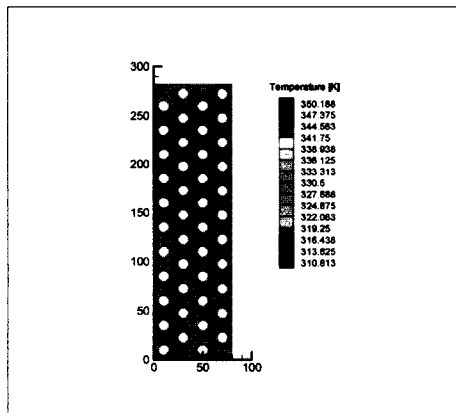
รูปที่ 4 แสดงลักษณะการถ่ายโอนความร้อนภายในแบบจำลอง แผงท่อให้ความร้อนเมื่อผิวนอกของแผงท่อให้ความร้อนมี อุณหภูมิ 50°C และอุณหภูมิอิเล็กทรอนิกส์ 35°C เมื่อเวลาผ่านไป 5 วินาที



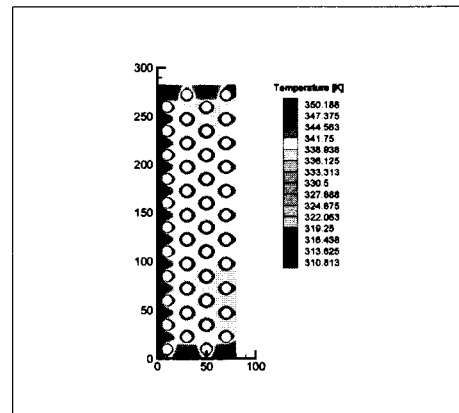
รูปที่ 5 แสดงลักษณะการถ่ายโอนความร้อนภายในแบบจำลอง แผงท่อให้ความร้อนเมื่อผิวนอกของแผงท่อให้ความร้อนมี อุณหภูมิ 60°C และอุณหภูมิอากาศที่ต่ำแห่งทางเข้า 20°C เมื่อเวลาผ่านไป 1 วินาที



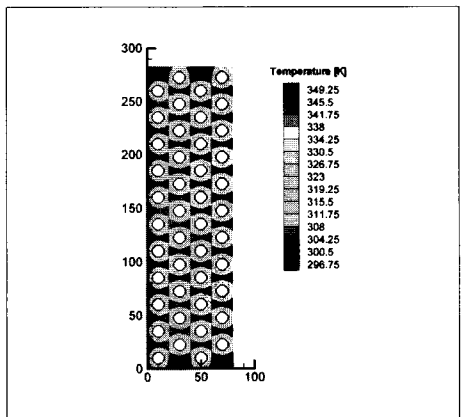
รูปที่ 7 แสดงลักษณะการถ่ายโอนความร้อนภายในแบบจำลอง แผงท่อให้ความร้อนเมื่อผิวนอกของแผงท่อให้ความร้อนมี อุณหภูมิ 70°C และอุณหภูมิอากาศที่ต่ำแห่งทางเข้า 20°C เมื่อเวลาผ่านไป 1 วินาที



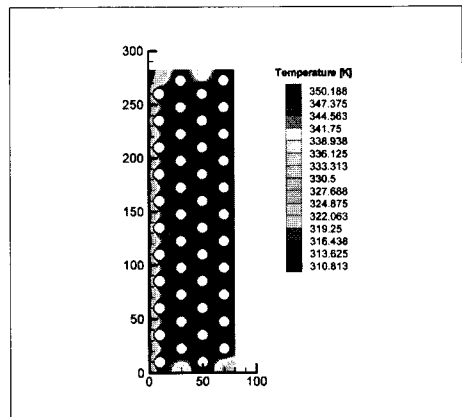
รูปที่ 6 แสดงลักษณะการถ่ายโอนความร้อนภายในแบบจำลอง แผงท่อให้ความร้อนเมื่อผิวนอกของแผงท่อให้ความร้อนมี อุณหภูมิ 60°C และอุณหภูมิอากาศที่ต่ำแห่งทางเข้า 35°C เมื่อเวลาผ่านไป 5 วินาที



รูปที่ 8 แสดงลักษณะการถ่ายโอนความร้อนภายในแบบจำลอง แผงท่อให้ความร้อนเมื่อผิวนอกของแผงท่อให้ความร้อนมี อุณหภูมิ 70°C และอุณหภูมิอากาศที่ต่ำแห่งทางเข้า 35°C เมื่อเวลาผ่านไป 5 วินาที



รูปที่ ๙ แสดงลักษณะการถ่ายโอนความร้อนภายในแบบจำลอง แผงท่อให้ความร้อนเมื่อผิวนอกของแผงท่อให้ความร้อนมี อุณหภูมิ 80°C และอุณหภูมิอากาศที่ตำแหน่งทางเข้า 20°C เมื่อเวลาผ่านไป ๑ วินาที



รูปที่ ๑๐ แสดงลักษณะการถ่ายโอนความร้อนภายในแบบจำลอง แผงท่อให้ความร้อนเมื่อผิวนอกของแผงท่อให้ความร้อนมี อุณหภูมิ 80°C และอุณหภูมิอากาศที่ตำแหน่งทางเข้า 35°C เมื่อเวลาผ่านไป ๕ วินาที

๕. สรุปผลและข้อเสนอแนะ

๕.๑ สรุปผลการวิจัย

จากการวิจัยแสดงให้เห็นว่ากรอบที่ผิวนอกของ แผงท่อให้ความร้อนมีอุณหภูมิ 50°C เกรเดียนท์ของ อุณหภูมิเฉลี่ยในทิศทางของการไหลมีค่าเท่ากับ 62.2 K/m กรอบที่ผิวนอกของแผงท่อให้ความร้อนมีอุณหภูมิ 60°C เกรเดียนท์ของอุณหภูมิเฉลี่ยในทิศทางของการไหล มีค่า เท่ากับ 89.8 K/m กรอบที่ผิวนอกของแผงท่อให้ความร้อน มีอุณหภูมิ 70°C เกรเดียนท์ของอุณหภูมิเฉลี่ยในทิศทาง ของการไหลมีค่าเท่ากับ 117.5 K/m และกรอบที่ผิวนอก ของแผงท่อให้ความร้อนมีอุณหภูมิ 80°C เกรเดียนท์ ของอุณหภูมิเฉลี่ยในทิศทางของการไหลมีค่าเท่ากับ 145.1 K/m ดังนั้นจะพบว่าที่อุณหภูมิแตกต่างกันมากผล เกรเดียนท์ของอุณหภูมนิ่มค่าสูงขึ้นและลักษณะการเปลี่ยน แปลงของอุณหภูมิกายในแบบจำลองนี้มีลักษณะเพิ่มขึ้น สู่ภาวะสมดุล นั่นคือ ค่าของอุณหภูมิที่บริเวณทางออก ของแผงท่อให้ความร้อนจะมีค่าเพิ่มตามลำดับและมีอัตรา การเพิ่มขึ้นอย่าง慢 ไม่เสื่อม และเมื่อเวลาผ่านไป ค่าของ อุณหภูมิกายในของแบบจำลองจะมีค่าคงที่ หลังจากนั้นไม่ ว่าจะเพิ่มจำนวนเวลาหากขึ้นเพียงใดก็ตามค่าของอุณหภูมิ ที่ตำแหน่งต่างๆ กายในแบบจำลองจะไม่มีการเปลี่ยนแปลง

๕.๒ ข้อเสนอแนะ

- (1) ทำการศึกษาการพาความร้อนแบบอิสระที่เกิด จากความแตกต่างของอุณหภูมิกายในอากาศ เพื่อ นำมาใช้ในการต่อตัวอากาศสัมผัสกับผิวของวัสดุที่ มีอุณหภูมิต่างกัน เพื่อให้ผลของคำตอนแม่นยำ ยิ่งขึ้น
- (2) ทำการศึกษาถึงการเปลี่ยนแปลงของมวลความ ชื้นของอากาศว่ามีผลต่อการเปลี่ยนแปลง อุณหภูมินาน้อยเพียงใด
- (3) ทำการศึกษาการถ่ายโอนความร้อนแบบไม่เชิง เส้นกายได้สถานะชั่วครู่ เพื่อนำผลที่ได้มา ประกอบการเปรียบเทียบกับงานวิจัย เพื่อหาผล สรุปว่าการเปลี่ยนแปลงของอุณหภูมิที่ได้นั้นมี ความแตกต่างกันมากน้อยเพียงใด

6. เอกสารอ้างอิง

[1] A. Bejan, “Convection Heat Transfer,” Second Edition, Singapore, John Wiley, 1995., pp. 523–525.

[2] F.P. Incropera and D.P. Dewitt, “Introduction to Heat Transfer,” Fourth Edition, United States of America, John Wiley & Sons Inc, 2002.

[3] F.C. McQuiston and J.D. Parker, “Heating Ventilating and Air Conditioning,” Fourth Edition, United States of America, John Wiley & Sons Inc, 1994.

[4] ปราโมทย์ เดชะอ่ำไฟ, ไฟฟ้าในต่ออุปกรณ์ในงานวิศวกรรม, กรุงเทพฯ, จุฬาลงกรณ์มหาวิทยาลัย, 2537. หน้า 301.